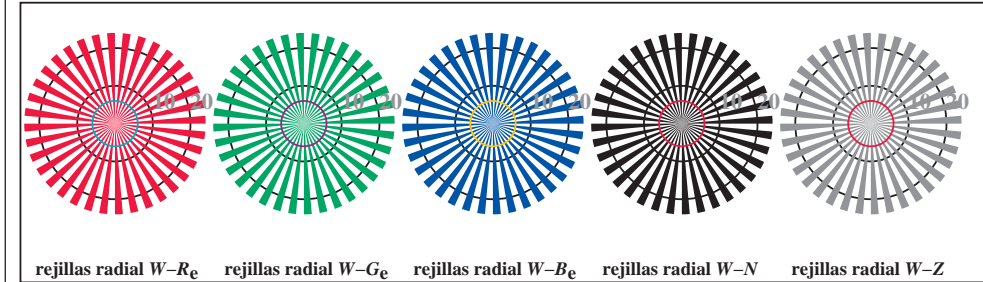
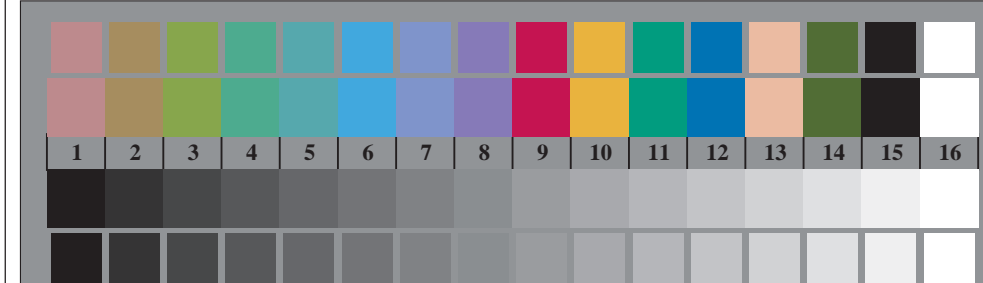




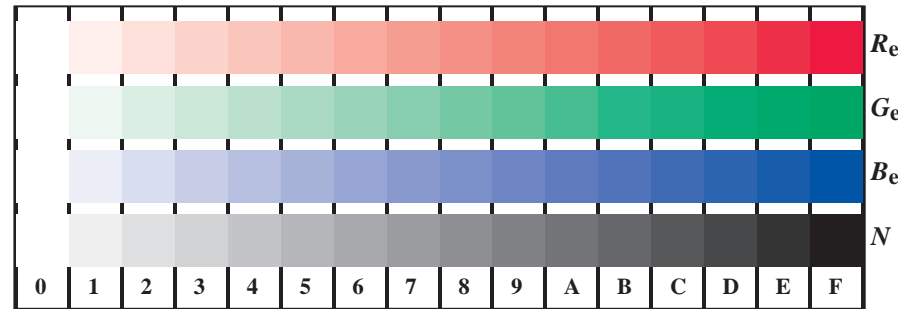
TS890-3, Fig. D1We: motivos florales, CIE 14 colores del test y 2 + 16 pasos de gris (sf); PS operator: 4 colorimage



TS890-5, Fig. D2We: rejillas radial $W-R_e$; $W-G_e$; $W-B_e$; $W-N$; PS operator: $rgb \rightarrow rgbe$ setrgbcolor



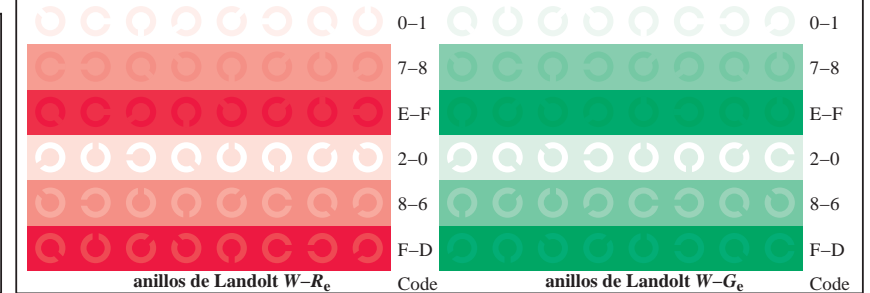
TS890-7, Fig. D3We: CIE 14 colores del test y 2 + 16 pasos de gris (sf); PS operator: $rgb/cmby0 \rightarrow rgbe$ setrgbcolor



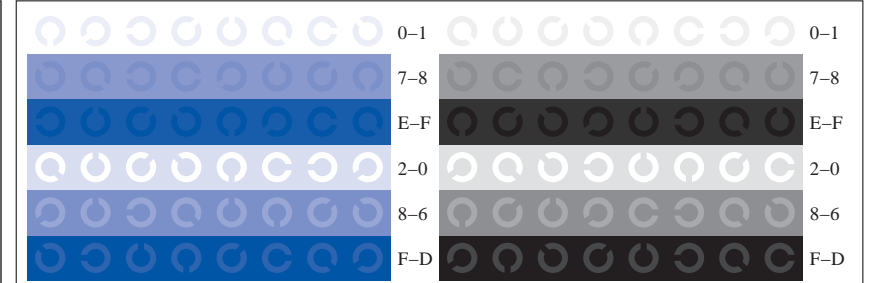
TS891-1, Fig. D4We: 16 equidistantes pasos $W-R_e$; $W-G_e$; $W-B_e$; $W-N$; $rgb/cmby0 \rightarrow rgbe$ setrgbcolor

+-.:	Q	O	O	O	C		lmno	C	O	O	O		pqrs	O	O	O		tuvw	O	O	O
xyz;	O	O	O	O	C		hijk	O	O	O	O		lmno	O	O	O		pgrs	O	O	O
tuvw	O	O	O	O	C		defg	O	O	O	O		hijk	O	O	O		lmno	O	O	O
pqrs	O	O	O	O	C		!abc	O	O	O	O		defg	O	O	O		hijk	O	O	O
lmno	O	O	O	O	C		+-.:	O	O	O	O		!abc	O	O	O		defg	O	O	O
hijk	C	O	O	O	C		xyz;	O	O	O	O		xyz;	O	O	O		!abc	O	O	O
defg	O	O	O	O	C		tuvw	O	O	O	O		tuvw	O	O	O		defg	O	O	O
!abc	O	O	O	O	C		+-.:.	O	O	O	O		lmno	O	O	O		!abc	O	O	O
10	N	R	e	G	e	B	Z						6	N	R	e	G	e	B	Z	
													8	N	R	e	G	e	B	Z	

TS891-3, Fig. D5We: codigo y Landolt annilos N ; R_e ; G_e ; B_e ; Z ; PS operator: $rgb \rightarrow rgbe$ setrgbcolor



TS891-5, Fig. D6We: anillos de Landolt $W-R_e$; $W-G_e$; PS operator: $rgb \rightarrow rgbe$ setrgbcolor



TS891-7, Fig. D7We: anillos de Landolt $W-B_e$; $W-N$; PS operator: $rgb \rightarrow rgbe$ setrgbcolor